Informe de actividad de Carlos Pascual Izarra en el grupo de Física Nuclear Experimental del Instituto de Estructura de la Materia (CSIC).

Periodo 1-Junio-2006 a 31-Mayo-2006.

Introducción

En este informe se detallan las actividades realizadas por mí (Carlos Pascual Izarra) en los 12 meses (desde el 1/06/2005 hasta el 31/05/2006) de duración de contrato en el grupo Física Nuclear Experimental del Instituto de Estructura de la Materia (CSIC). Las actividades se agrupan por categorías dependiendo del tema de trabajo al que pertenecen.

DLEP:

Mi actividad principal se enmarcó en el proyecto DLEP (EURONS)[1]. El objetivo de este proyecto es la puesta a punto de un detector de partículas de baja energía con capacidad para discriminar el tipo de partícula. El detector es de silicio, y la discriminación del tipo de partículas se realiza por medio de un análisis y procesamiento de la información contenida en la evolución temporal de la señal del mismo ("forma de pulso"). Durante el periodo de trabajo se han realizado fundamentalmente estudios exploratorios para decidir el mejor abordaje al problema. Igualmente, se han puesto en marcha los sistemas de adquisición de datos necesarios, tanto para la los mencionado experimentos preliminares como para la implementación definitiva.

Si se consideran partículas de idéntica energía pero masa diferente, que son completamente frenadas en el detector, el pulso de corriente generado en el mismo por ambas partículas tendrá idéntica área pero distinta forma. Esta diferencia es causada por la dependencia de la fuerza de frenado de las partículas en silicio (y por tanto del ritmo de ionización del Si) en función de su masa y su carga.

Para poder adquirir y procesar eficientemente los pulsos de del detector, es necesario emplear sistemas de digitalización rápida. Para los experimentos exploratorios descritos a continuación se ha empleado un osciloscopio digital LeCroy 7100A (con ancho de banda de 1 GHz y hasta 20G muestras/s). Debido a que el detector genera pulsos de corriente muy pequeños, no es posible acceder directamente a la la señal del mismo, sino que debe emplearse un dispositivo preamplificador que transforme el pulso de corriente en una señal de voltaje digitalizable. Una vez digitalizada la señal, es necesario implementar un algoritmo que sea capaz de reconocer las diferencias entre los pulsos generados por diferentes partículas, idealmente en tiempos muy cortos (con vistas a su uso en tiempo real durante los experimentos).

Experimentos exploratorios

En general, resulta deseable que la instrumentación sea estándar (a ser posible, disponible comercialmente). Esto permite tanto abaratar costes en las fases de pruebas como aumentar el rango de aplicabilidad de los resultados por terceros. Por ello, los primeros experimentos se concentraron

en determinar si la discriminación de pulsos era posible empleando detectores de silicio y preamplificadores comunes.

Se realizaron diversos experimentos en el Centro de Micro-Análisis de Materiales, empleando el acelerador de iones para obtener protones en un amplio rango de energías mediante retrodispersión de un haz de protones en una muestra de BiSrCaCuO/C y otra de Pb. Igualmente, se midieron señales para partículas α provenientes de una fuente de ²⁴¹Am. Se empleó un detector de barrera de superficie (SBD) con preamplificadores sensibles a carga (mod. 142A) de Ortec. Para el análisis posterior de los datos, los pulsos se almacenaron en formato ASCII y se procesaron mediante un programa desarrollado a tal efecto ("prcpls.py"[2], escrito en Python). Mediante este programa se extrajo información del tiempo de subida (flanco de la señal correspondiente a la acumulación de carga, del orden de ~ns) para cada pulso así como del tiempo de bajada (del orden de ms). Se observó que ambos parámetros varían con la energía de las partículas pero no se ha conseguido observar una diferencia significativa en ninguno de estos parámetros en función del tipo de partícula, teniendo en cuenta la dispersión de los datos experimentales para una misma partícula. Igualmente, una comparación cualitativa en busca de otras características que pudieran servir para discriminar los pulsos obtenidos, han dado resultados negativos¹. A pesar de esto, los resultados permitieron obtener alguna información de interés:

- Es preciso emplear preamplificadores sensibles a corriente (en lugar de sensibles a carga). Para ello, resulta interesante la posibilidad de emplear preamplificadores como los mostrados en [3] y [4].
- Los tiempos típicos de generación de pulso en el detector (el flanco de subida en el caso de los preamplificadores sensibles a carga) permiten que las digitalizaciones se hagan con un número suficiente de muestras sin explotar al máximo las capacidades del osciloscopio. Por tanto, es viable la utilización de tarjetas digitalizadoras más lentas (como las ACQIris DC440 [5]) e incluso, eventualmente su utilización multiplexada para abaratar costes en sistemas de múltiples canales.

Algoritmos para clasificación automática

Varios grupos han abordado anteriormente el problema de la discriminación de partículas [6][7], pero en general se ha hecho estudiando correlaciones entre parámetros de los pulsos obtenidos mediante electrónica analógica. El enfoque realizado en nuestro caso es diferente [8][9]: haciendo uso de la posibilidad de digitalizar completamente la señal con 10 o más muestras en la región relevante, pueden emplearse redes neuronales artificiales (ANN) para la clasificación. A continuación se expone de forma muy breve las bases de este sistema:

- 1. La ANN, puede considerarse como una función que acepta unos parámetros de entrada (en nuestro caso el pulso digitalizado) y que proporciona un resultado (la categoría a la que ese pulso pertenece).
- 2. Para realizar la clasificación, la ANN emplea una serie de parámetros internos (que podemos llamar de "calibración") que combina de una forma muy sencilla (con coste computacional muy reducido).
- 3. Esos parámetros internos son establecidos de forma automática durante una fase previa ("entrenamiento" de la ANN) que sólo precisa ser realizada una vez para una ANN

1Este resultado es, en cierta medida, esperable dado que el preamplificador usado está diseñado con una finalidad opuesta a nuestro objetivo. Este preamplificador homogeniza los pulsos de forma que sean más fácilmente tratables por una etapa amplificadora analógica posterior.

- determinada. El entrenamiento consiste en "alimentar" a la ANN con casos resueltos similares a los que va a tener que clasificar posteriormente.
- 4. En la fase de entrenamiento la ANN, por medio de su algoritmo de aprendizaje, será idealmente capaz de analizar los ejemplos resueltos que se le proporcionan y "codificar" en sus parámetros internos los patrones que identifican cada categoría presente en los ejemplos. Esta fase es la única que precisa de cierta potencia de cálculo.
- 5. Una vez la ANN ha sido entrenada, ya está lista para recibir pulsos nuevos (pertenecientes a las mismas categorías que las mostradas en los ejemplos de entrenamiento, pero completamente nuevos) y la clasificación se realiza con un coste de proceso mínimo (tan rápido como realizar unas pocas sumas y multiplicaciones).

Es importante dejar claro que las ANNs son específicas para un problema dado. Por ejemplo, si cambia el tipo de partículas a clasificar o el rango de energías de las mismas, es necesario "entrenar" una nueva ANN para ese caso.

Las ANNs presentan las siguientes características que resultan muy atractivas para este caso:

- Las ANNs son rápidas. Una vez entrenadas, la clasificación es virtualmente inmediata (puede realizarse incluso a tiempo real).
- No es necesario desarrollar modelos detallados para predecir la forma del pulso. Durante el entrenamiento, la ANN encuentra automáticamente los patrones relevantes para la clasificación.
- Existen muchas bibliotecas de funciones de redes neuronales disponibles como software libre [10][11].

Una de las claves para el buen funcionamiento de una ANN para clasificación, es la disponibilidad de un gran número de ejemplos resueltos para la fase de entrenamiento. Estos ejemplos deben ser realistas y cubrir los casos típicos que la red debe ser capaz de resolver. En muchas aplicaciones, esta condición limita la utilidad de las ANN. En muchos casos la única forma de conseguir un conjunto suficientemente grande de ejemplos resueltos, es recurrir a la simulación de los mismos. En estos casos, la ANN se enfrenta a problemas cuando la simulación no es totalmente fiel a la realidad. Afortunadamente, nuestro caso es diferente: generalmente posible diseñar experimentos ex-profeso en los que se detecten únicamente partículas de un tipo (por ejemplo, mediante experimentos de retrodispersión). Otra posibilidad es diseñar experimentos donde se detecte más de un tipo de partículas pero sea posible identificar éstas por otros medios (por ejemplo, sistemas TOF o mediante coincidencias). Estos experimentos pueden considerarse parte de la "calibración" del sistema experimental. Es importante destacar que, siempre que no cambie la respuesta del detector, los ejemplos de entrenamiento pueden ser reutilizados.

Debido a que no ha sido posible conseguir aún un preamplificador sensible a corriente para realizar los experimentos pertinentes, las pruebas realizadas con redes neuronales se han limitado a la comprobación de la viabilidad del empleo de la biblioteca elegida (FANN)[10] con casos generados artificialmente. Estas pruebas exploratorias, para las cuales se escribió expresamente el programa "annpsd.py" [2], han sido prometedoras aunque aún se precisa realizar pruebas en condiciones reales.

La librería FANN presenta las siguientes características interesantes:

- Es sencilla de usar, bastante completa y bien documentada.
- Es multiplataforma. No sólo puede emplearse con distintos sistemas operativos, sino que

además contiene una versión de las funciones optimizada para arquitecturas sin coprocesador matemático. Esto puede ser una ventaja a la hora de hacer una implementación barata de un discriminador (por ejemplo empleando procesadores ARM).

- Es libre, bajo licencia GPL.
- Está programada en C con clara orientación a objetos. Es posible usarla de forma natural en C++.
- Existe una interfaz para Python. En la versión probada (v 1.2), resultaba trivial acceder a las funciones básicas de alto nivel de FANN (tanto para el entrenamiento como para uso). En cambio no era sencillo acceder en Python a funciones de bajo nivel que pueden resultar interesantes para un control fino de la fase de entrenamiento.

Nota: Ángel Perea ha desarrollado un simulador de pulsos de detector basado en aproximaciones analíticas sencillas que puede ser un punto de partida interesante para profundizar en el estudio de la aplicabilidad de las ANNs, en espera de tener acceso a un preamplificador sensibles a corriente.

Puesta a punto del sistema de adquisición ACQIris

Aunque para los experimentos llevados a cabo se ha empleado el osciloscopio LeCroy 7100A debido a la comodidad de uso en la fase de experimentos exploratorios, la implementación final del sistema de clasificación debe llevarse a cabo con digitalizadores más económicos, que puedan ser empleados masivamente. Para ello se ha configurado un sistema de ACQIris basado en un ADC de dos canales (mod. DC440, con ancho de banda de 100MHz y 400Mmuestras/s) que se comunica con el ordenador mediante tarjetas dedicadas (mod. PXI/PCI 8570). Este sistema es escalable, pudiendo controlarse múltiples ADCs con la misma tarjeta.

El proceso de configuración y pruebas consistió en:

- Instalación de la tarjeta PCI 8570 en una máquina (espin) con sistema operativo GNU/Linux (Debian Sarge). Conexión de cableado con el módulo PXI 8570 externo.
- Compilación del controlador (driver) de la tarjeta PCI 8570 para el nucleo (kernel) específico instalado. Es importante tener en cuenta que cualquier actualización del núcleo del sistema operativo comporta la recompilación de este controlador.
- Comprobación de funcionamiento mediante el programa "AcqirisDemo" (osciloscopio virtual que acompaña al sistema). Como fuente de pulsos se empleó el generador Ortec 448 y la fuente artificial Silena Easy1
- Escritura de un programa de test ("pulseacq") en C++ que permite adquirir pulsos individuales y volcarlos a disco duro.

Esta tarea se considera finalizada. El sistema ACQIris es adecuado para la función de sustituir eventualmente al osciloscopio LeCroy 7100A como digitalizador de pulsos para el diseño final del sistema de discriminación de pulsos.

Sugerencias para la continuación del trabajo:

A continuación se proponen varias lineas de trabajo que podrían seguirse para conseguir el objetivo final de implementar un sistema robusto de clasificación de pulsos en detectores de silicio:

- Empleo de preamplificadores sensibles a corriente, o mejor aún, duales (sensibles corriente y carga) de manera que sea posible usar la salida de "corriente" para la identificación y la de "carga" para espectroscopia.
- Modificación de los detectores para separar las señales de los electrodos frontales y traseros

(esto es especialmente factible en los PSD). Esto permitiría obtener pulsos separados para los huecos y los electrones generados durante el frenado de las partículas en el detector, lo que mejoraría la capacidad de discriminación de las ANNs.

- Creación de un simulador realista de pulsos (usando Geant4) y comparación con un simulador basado en aproximaciones analíticas. Estudio de su posible utilidad como entrenamiento para las ANNs en casos donde no sea posible emplear pulsos reales.
- Creación de base de datos de pulsos para calibración. Esto permitiría entrenar ANNs a medida para cada experimento. Como mínimo, debería ser posible seleccionar los pulsos en función del tipo de partícula y su energía. Algunas pruebas tentativas sugieren que MySQL puede ser una buena opción para crear esta base de datos.
- Implementación de la ANN (ya entrenada) en un circuito "tonto" programable, para conseguir clasificación en tiempo real.

CMAM

El grupo de Física Nuclear Experimental mantiene una linea en el Centro de Micro-Análisis de Materiales, situado en el campus de la Universidad Autónoma de Madrid. Puntualmente, parte de mi actividad se ha desarrollado en relación con esta linea.

Mantenimiento de la linea

El mantenimiento y puesta a punto de esta linea corre a cargo principalmente de Diego Obradors, aunque puntualmente colaboré con él (y otros miembros del grupo) para llevar a cabo las siguientes tareas:

- Instalación y prueba de rendijas colimadoras de Ramen
- Fijado de la linea e instalación de fuelles para vacío.
- Puesta a punto de cámara de vacío, detectores y alineamiento para experimentos de discriminación de pulsos.
- Configuración de ordenadores y osciloscopio para adquisición remota de datos.
- Colocación de la cámara de vacío para experimento de estudio de desintegración triple-alfa de ¹²C y alineamiento.

Operación y supervisión de seguridad durante experimento de estudio de desintegración 3α de ¹²C

Entre el 21 y el 25 de marzo de 2006, se llevó a cabo un experimento de estudio de desintegración triple-alfa de ¹²C [12]. Para ello, se utilizó la linea del CMAM. Durante el experimento era imprescindible contar permanentemente con un operador del acelerador (a la vez que supervisor responsable de seguridad). Esta necesidad se cubrió mediante guardias, un tercio de las cuales me correspondieron a mí.

R3B-FAIR

Otra parte importante de trabajo se realizó en relación al proyecto R3B [13] enmarcado en FAIR [14], que persigue el diseño de un calorímetro de absorción total para rayos gamma y protones de alta energía. El detector debe cumplir una serie de requisitos muy exigentes en cuanto a la resolución angular y en energía [15], que deben compatibilizarse con las restricciones mecánicas y

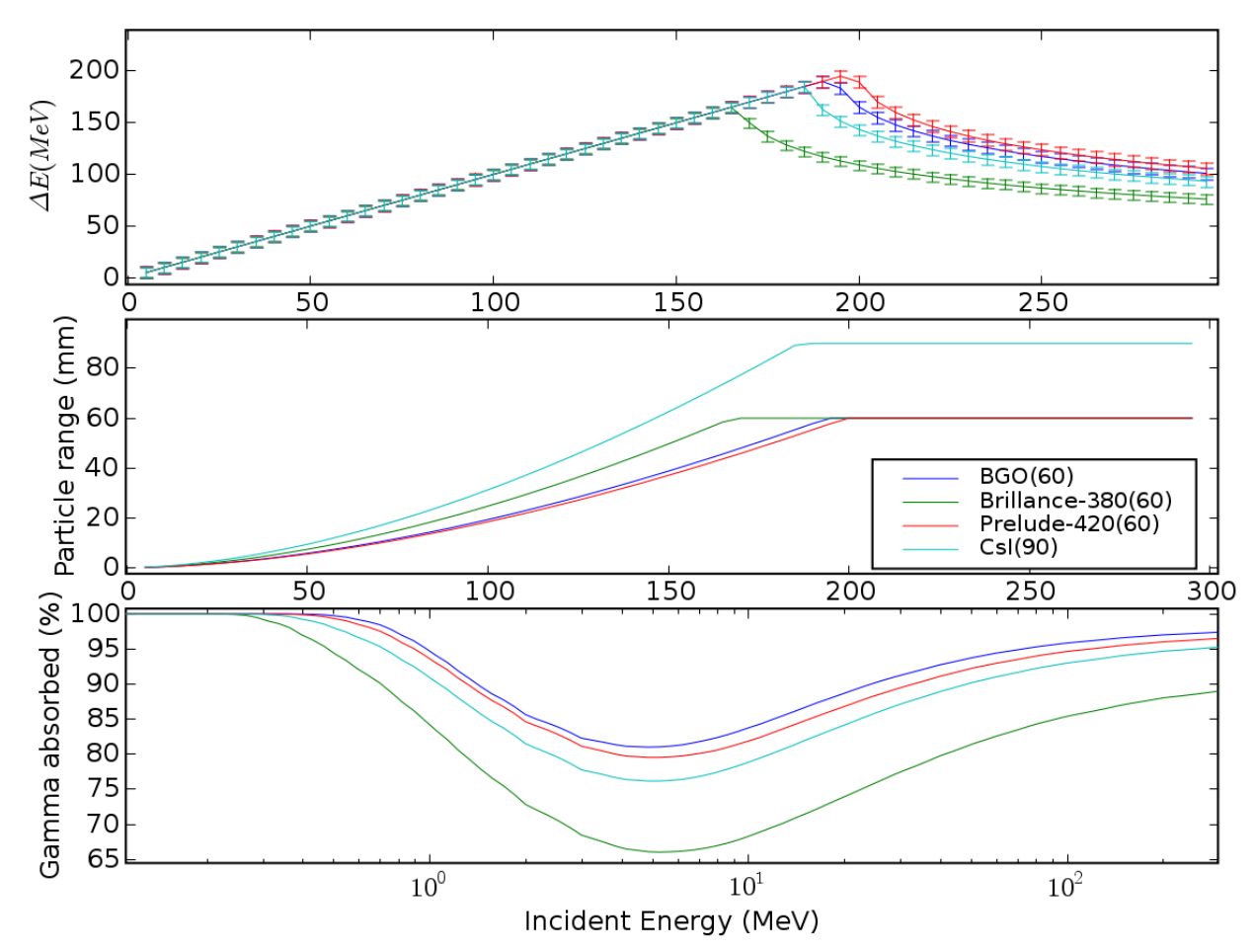


Fig 1: Ejemplo de resultados del programa "de-detector.py". Comparación de respuesta de varios tipos de materiales centelleadores.

de precio.

Implementación del programa de-detector.py

En la actualidad hay un grupo de trabajo [16] dedicado específicamente a la tarea de simular mediante técnicas Monte-Carlo posibles soluciones para este detector. Las simulaciones realizadas por este grupo son muy precisas pero requieren de una cantidad considerable de esfuerzo y tiempo de computación y por tanto no resultan adecuadas para responder a la fase más preliminar de diseño en la cual deben explorarse gran cantidad de posibilidades (diferentes materiales y configuraciones) para descartar directamente las soluciones que sean inviables o que no cumplan los requisitos más básicos.

Con el fin de tener una herramienta que permita realizar cálculos aproximados pero rápidos de las propiedades de diferentes configuraciones, se ha escrito el programa "de-detector.py" [2]. Este programa, realizado en Python y basado en aproximaciones analíticas sencillas (en lugar de Monte-Carlo), permite calcular aproximadamente para un determinado tipo de material centelleador, con una cierta longitud, su respuesta para protones y rayos gamma en el rango de energías deseado. Igualmente, permite estimar el volumen y precio de cada solución [17].

El programa de-detector.py ha resultado especialmente útil para analizar diversas configuraciones para el detector (ver Fig 1). En primer lugar, se ha descartado la posibilidad de emplear materiales centelleadores con suficiente longitud como para frenar completamente los protones más energéticos ya que implicaría un volumen de material inasumible (mecánica y económicamente). Por tanto, se ha estudiado, con el mismo programa, la viabilidad de una

configuración alternativa de tipo "Phoswich". Esta solución consiste en utilizar dos capas de material diferente, empleándose la primera como detector principal y la segunda para señalar los casos en los que la partícula atravesó completamente el primer detector. Sólo se emplea un fotodetector situado tras la segunda capa. Así, el primer detector puede ser usado en modo de "absorción total" en los casos de partículas de baja energía y en modo ΔE para las partículas más energéticas, que son identificadas por producir señal en el segundo detector.

Para que la configuración en Phoswich tenga éxito, los materiales que forman cada etapa de detección deben cumplir las siguientes condiciones:

- Deben ser compatibles ópticamente entre sí: el material del segundo detector debe ser transparente a la luz emitida por el primero.
- Deben tener tiempos de decaimiento suficientemente distintos como para discriminar fácilmente la señal proveniente de cada material.
- Idealmente, se deben evitar los materiales higroscópicos, sobre todo para el primer material (el segundo puede estar aislado, con el primero actuando como ventana.
- Deben tener buena resolución en energía.

La decisión sobre la combinación concreta de materiales a elegir no está tomada (ver [17]), y depende aún de las condiciones específicas de geometría, del precio final y de los resultados de las simulaciones detalladas con R3BSim.

Instalación del sistema MesyPET

Con el fin de poder analizar experimentalmente las propiedades de los distintos materiales centelleadores (Brillance-380, Prelude420, etc) candidatos para ser usados en el detector R3B, se compró (a la firma MesyTEC) un sistema de adquisición de datos en coincidencia, originalmente desarrollado para aplicaciones de Tomografía por emisión de positrones. Este sistema consta de sendos fotodetectores segmentados (8x8), que pueden ser acoplados a materiales centelleadores igualmente segmentados, que son leídos en coincidencia para reducir el nivel de ruido de fondo.

Con el fin de integrar este sistema con el resto de sistemas de adquisición presentes en el laboratorio, resultó preciso adaptar el software que acompañaba al producto para poder compilarlo y ejecutarlo en la máquina que centraliza la adquisición de datos².

En estos momentos, el sistema MesyPET está operativo.

Simulación de experimentos de reacciones nucleares a baja energía.

Para la preparación de experimentos de estudio de estructura nuclear de núcleos ligeros, se ha escrito un programa ("de_vs_e-gtk.py") que permite la simulación de diagramas " Δ E frente a E" en experimentos de ruptura de núcleos cuando éstos son lanzados contra un blanco de material y espesor conocidos (ver condiciones geométricas en la Fig. 2).

²La adaptación del software fue posible gracias a que éste se distribuye libremente (licencia GPL). Las modificaciones realizadas han sido documentadas así como remitidas al autor original para su posible inclusión en futuras versiones.

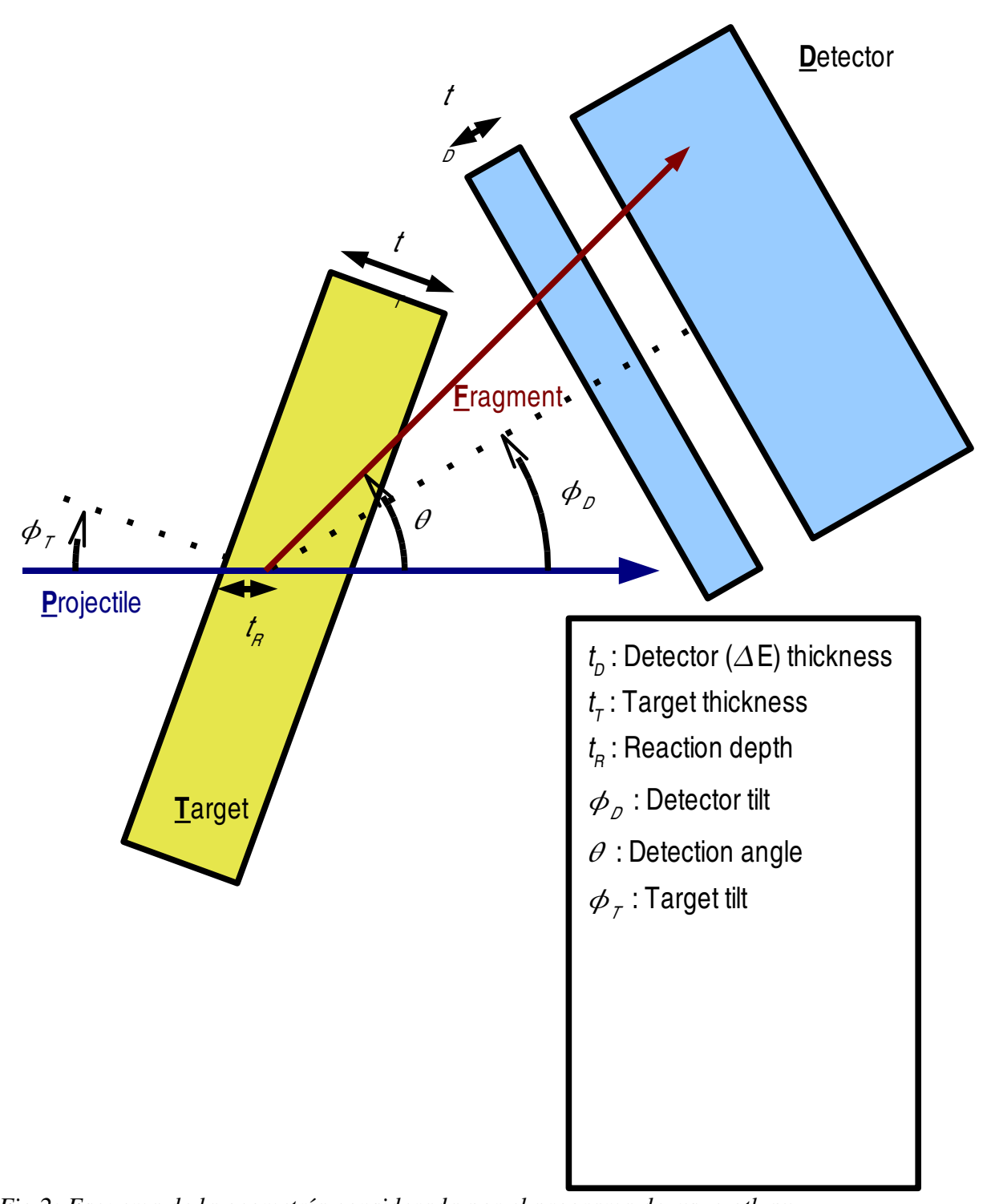


Fig 2: Esquema de la geometría considerada por el programa de_vs_e-gtk.py

La Fig. 3 muestra una captura de pantalla del programa, en un cálculo para el caso de 11 Li rompiéndose a 9 Li y a 8 Li.

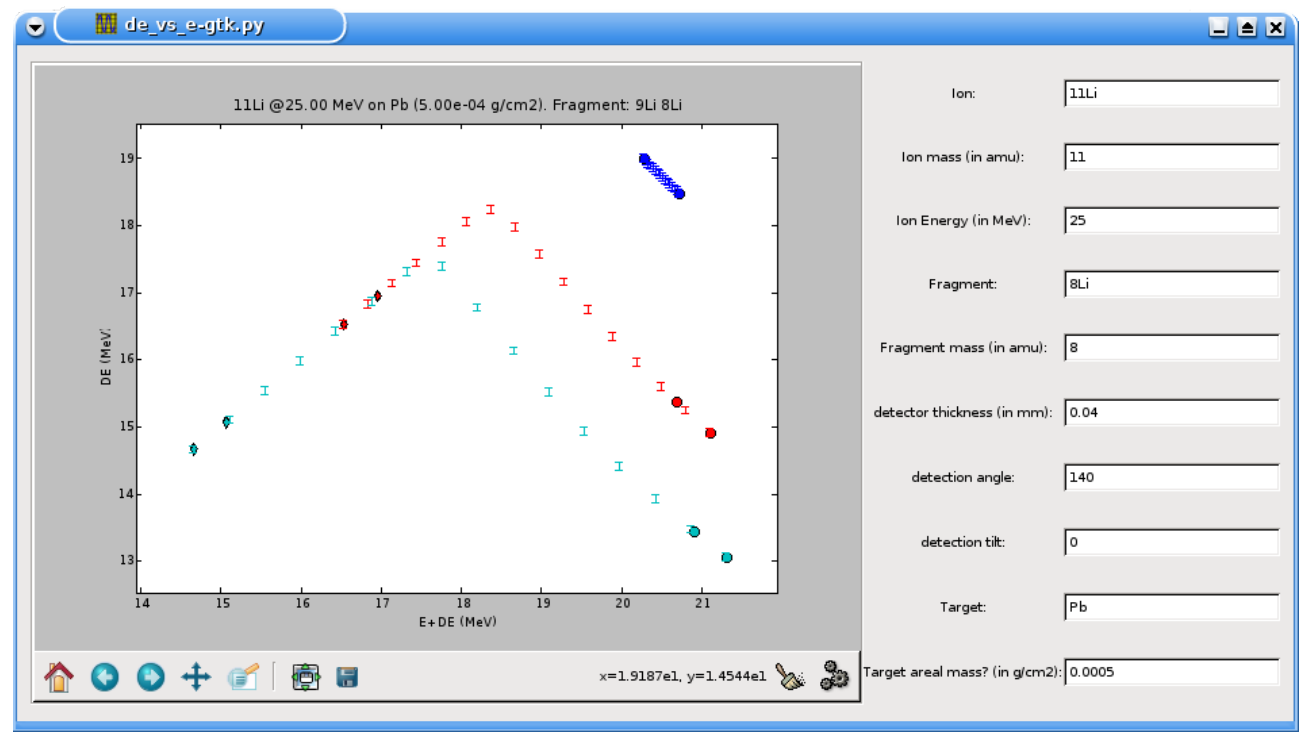


Fig 3: Captura de pantalla del programa "de_vs_e-gtk.py" donde se muestra una simulación para reacciones con ¹¹Li. Se observan tres ramas: la superior corresponde al ¹¹Li dispersado elásticamente; la intermedia, a los fragmentos de ⁹Li y la inferior a fragmentos de ⁸Li.

Gracias al empleo de "de_vs_e-gtk.py", se han podido determinar las energías de haz, los tipos y espesores de blancos y las geometrías de detectores que pueden ser empleados en los experimentos propuestos en TRIUMF [18], en LIRAT-Spiral2 [19] y en REX-ISOLDE [20].

Igualmente, se espera que este programa pueda ser útil en la preparación de otros muchos experimentos similares, por lo que se realizó un esfuerzo por dotarlo de una interfaz gráfica sencilla que permita su uso sin complicaciones.

Soporte informático general

Como una actividad complementaria, he realizado labores soporte informático para el grupo (aparte de las tareas específicas enmarcadas en las actividades mencionadas antes). Las laboras más significativas en este aspecto son:

- Adquisición e instalación de ordenadores. Durante mi estancia he gestionado la compra de 3 ordenadores personales ("boro", "berilio" y "carbon"). Así como de diversos periféricos (monitores, cámara de fotos, memoria RAM,...).
- Instalación y administración de Debian-GNU/Linux en diversas máquinas. He instalado la distribución Debian (GNU/Linux) en 5 PCs: "boro", "carbon", "berilio", "espin" y "deuteron". En boro, la versión ha sido "Etch" (testing) y en los demás "Sarge" (estable). Tanto la administración como el mantenimiento se han llevado a cabo con la seguridad y la mantenibilidad como prioridades.
- Establecimiento de política de seguridad y administración de servicio Apache en "deuteron": esta máquina centraliza tanto el servicio de página web externa del proyecto Targisol como el servidor de intranet del grupo (gestionado por Diego Obradors). Los

- requerimientos de disponibilidad continua y seguridad de esta máquina hicieron necesaria una configuración a medida del servidor de páginas web "Apache".
- Instalación de software específico para Física Nuclear. Para facilitar futuras instalaciones de programas específicos de física nuclear (cuya instalación no es siempre trivial), se realizaron y documentaron [2] instalaciones completas de Paw, Root, Geant4 y Pylab/Matplotlib. Aún queda pendiente la instalación de R3BSim bajo Debian (los cambios necesarios deben ser coordinados con el autor de R3BSim).
- Adecuación y documentación del programa IRES [21]. IRES es una interfaz web (realizada por Edward Morrissey) al código RIBO (que es una aplicación en Fortran77 para cálculo de producción de haces radiactivos). IRES está compuesto por un conjunto de rutinas en Javascript, Python y Bash que interactúan para procesar las entradas y salidas de RIBO y proporcionar una cola de ejecución de tareas de forma que usuarios externos puedan realizar simulaciones a través de la página web de Targisol. Aunque el autor de IRES dejó el código totalmente operacional, ha sido necesario realizar (y documentar) pequeñas modificaciones para permitir una instalación más limpia y asegurar su mantenibilidad (esto fue necesario, por ejemplo, tras la reinstalación del servidor "deuteron").

El soporte informático del grupo queda, tras mi marcha, a cargo de Ángel Perea.

Ayuda en general a otros integrantes del grupo

Otra actividad complementaria (a la que he intentado asignar una alta prioridad) ha consistido en prestar ayuda puntualmente a otros integrantes del grupo en aquellas áreas en las que mi experiencia previa resultaba útil. En general, estas ayudas han estado relacionadas o bien con con aspectos computacionales (programación, uso de programas de análisis, algoritmos,...) o bien con la física de la interacción de partículas cargadas con la materia.

Algunos ejemplos serían:

- Diseño de IRES (Edward Morrissey)
- Nociones básicas de programación (Martín Alcorta)
- Técnicas IBA, para curso de doctorado (Eva Reillo)
- Optimización; poder de frenado (Miguel Madurga)

Referencias:

- 1. http://www.targisol.csic.es/dlep/
- 2. Sección de "Descargas" de la Intranet de FN exp https://deuteron/index.php?name=UpDownload
- 3. H. Hamrita, et al., NIM A 531 (2004) 607-615
- 4. P. Jarron and M.Goyot, NIM 226 (1984) 156-162
- 5. http://www.acqiris.com/
- 6. G.Pausch, et al, NIM A 365 (1995)
- 7. C.A.J. Ammerlaan, NIM 22 (1963) 189-200
- 8. C. Pascual-Izarra, "PSD with ANNs (psd_with_anns.pdf)"
- 9. C. Pascual-Izarra, "Resumen Trabajo IEM (resumen_trabajo_IEM.pdf)"2006
- 10. http://leenissen.dk/fann/
- 11. ftp.sas.com/pub/neural/FAQ5.html
- 12. M. Alcorta, "The 3He +10B Reaction at CMAM"2005
- 13. R3B Home Page http://www-land.gsi.de/r3b/
- 14. FAIR home page http://www.gsi.de/zukunftsprojekt/index_e.html
- 15. http://www-linux.gsi.de/~wwwnusta/tech_report/13-r3b.pdf
- 16. http://fpsalmon.usc.es/r3b/simulationIndex.shtml
- 17. C. Pascual-Izarra, "R3B Cost (R3Bcost.pdf)"2006
- 18. TRIUMF Public Home Page http://www.triumf.ca/
- 19. SPIRAL2 home page http://www.ganil.fr/research/developments/spiral2/
- 20. REX-Isolde HomePage
- 21. http://www.targisol.csic.es/intro_ires.html